

基本内容 12-14 章 电磁学

- 1、电荷、库仑定律；2、电场、电场强度（场强叠加原理、电场强度的计算）。
- 3、电通量、静电场中的高斯定理及应用。
- 4、静电场的环路定理、电势差与电势。
- 5、电势叠加原理；6、电势的计算；
- 7、等势面，电场强度与电势的微分关系。
- 8、导体的静电平衡及其条件；
- 9、静电平衡下导体上电荷的分布；
- 10、有导体存在的静电场的计算。
- 11、电容；12、电容器串联和并联；
- 13、电容器的储能、电场的能量。

- 14、电流强度、电流密度、电流的连续性方程、稳恒电流；15、电动势。16、磁场、磁感应强度；17、磁通量；18、磁场中的高斯定理；19、毕奥-萨伐尔定律。
- 20、毕奥-萨伐尔定律的应用；21、安培环路定理及其应用。22、磁场对载流导线和载流线圈的作用；23、安培定律。
- 24、法拉弟电磁感应定律；25、楞次定律。
- 26、动生电动势；27、感生电动势。
- 28、自感应、互感应；29、自感磁能、磁场能量。

I. 静电场小结

一、库仑定律

$$\vec{F}_{12} = \frac{1}{4\pi\epsilon_0} \frac{q_1 q_2}{r_{12}^3} \vec{r}_{12} = -\vec{F}_{21}$$

二、电场强度

1、引入电场强度：

$$\vec{E} = \frac{\vec{F}}{q_0}$$

2、点电荷的场强：

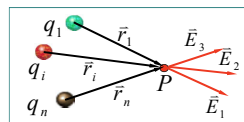
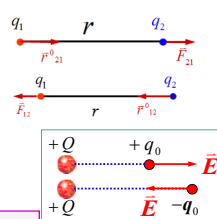
$$\vec{E} = \frac{\vec{F}}{q_0} = \frac{1}{4\pi\epsilon_0} \frac{q}{r^3} \vec{r}$$

3、场强的叠加

1) 点电荷系

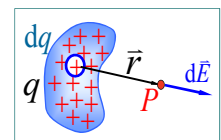
$$\vec{E} = \sum_{i=1}^n \vec{E}_i = \sum_{i=1}^n \frac{1}{4\pi\epsilon_0} \frac{q_i}{r_i^3} \vec{r}_i$$

电荷 q_1 对 q_2 的作用力 F_{21}



2) 电荷连续分布的带电体

$$d\vec{E} = \frac{1}{4\pi\epsilon_0} \frac{dq}{r^3} \vec{r}$$



$$\vec{E} = \int d\vec{E} = \int \frac{1}{4\pi\epsilon_0} \frac{dq}{r^3} \vec{r}$$

体电荷分布: $dq = \rho dV$

面电荷分布: $dq = \sigma ds$

线电荷分布: $dq = \lambda dl$

计算步骤: ①建坐标; ②取电荷元 dq ;

③确定 $d\vec{E}$ 的方向和大小;

④将 $d\vec{E}$ 投影到坐标轴上;

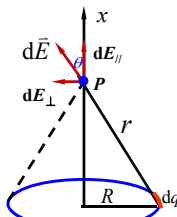
⑤统一变量, 对分量积分;

⑥合成确定 \vec{E} 大小和方向。

例2 均匀带电圆环轴线上一点的场强。设圆环带电量为 q , 半径为 R 。

解: 在圆环上任选 dq , 引矢径 r 至场点, 由对称性可知, p 点场强只有 x 分量。

$$\begin{aligned} E &= \int dE_x = \int dE \cdot \cos\theta \\ &= \int_L \frac{dq}{4\pi\epsilon_0 r^2} \cos\theta \\ &= \frac{\cos\theta}{4\pi\epsilon_0 r^2} \int_L dq \end{aligned}$$



$$E = \frac{\cos\theta \cdot q}{4\pi\epsilon_0 r^2} = \frac{qx}{4\pi\epsilon_0 (R^2 + x^2)^{3/2}}$$

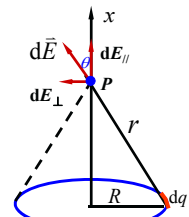
讨论

(1) 当 $x = 0$ 时, 即在圆环中心处

$$E = 0$$

(2) 若 $x \gg R$, 则 $E = \frac{1}{4\pi\epsilon_0} \frac{q}{x^2}$

可以把带电圆环视为一个点电荷。

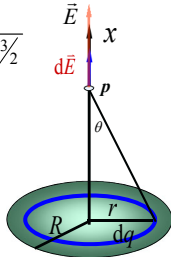


例3 均匀带电圆盘轴线上一点的场强。设圆盘带电量为 q , 半径为 R 。

解 带电圆盘可看成许多同心的圆环组成, 取一半径为 r , 宽度为 dr 的细圆环带电量为:

$$dq = \sigma 2\pi r \cdot dr \quad dE = \frac{dqx}{4\pi\epsilon_0 (r^2 + x^2)^{3/2}}$$

$$E_x(P) = \frac{\sigma x}{2\epsilon_0} \int_0^R \frac{rdr}{(r^2 + x^2)^{3/2}} = \frac{\sigma}{2\epsilon_0} \left[1 - \frac{x}{(R^2 + x^2)^{1/2}} \right]$$



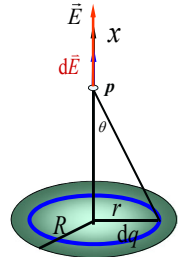
7

$$\int_0^R \frac{rdr}{(r^2 + x^2)^{3/2}} = \frac{1}{2} \int_0^R \frac{d(r^2 + x^2)}{(r^2 + x^2)^{3/2}} \int x^\mu dx = \frac{x^{\mu+1}}{\mu+1} + c$$

$$= -\frac{1}{(r^2 + x^2)^{1/2}} \Big|_0^R$$

$$= \frac{1}{x} - \frac{1}{(R^2 + x^2)^{1/2}}$$

$$E_x(P) = \frac{\sigma x}{2\epsilon_0} \int_0^R \frac{rdr}{(r^2 + x^2)^{3/2}} = \frac{\sigma}{2\epsilon_0} \left[1 - \frac{x}{(R^2 + x^2)^{1/2}} \right]$$

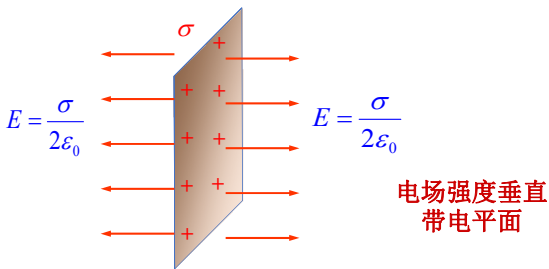


8

讨论

$$E = \frac{\sigma}{2\epsilon_0} \left[1 - \frac{x}{(R^2 + x^2)^{1/2}} \right]$$

(1) 当 $R \gg x$, 可视为无限大平板。

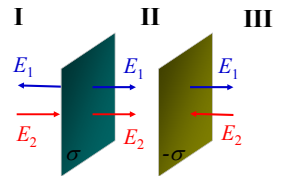


9

$$(2) \quad E_I = E_1 - E_2 = 0$$

$$E_{II} = E_1 + E_2 = \frac{\sigma}{\epsilon_0}$$

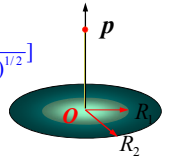
$$E_{III} = E_1 - E_2 = 0$$



(3) 补偿法 (空心圆盘在P点处的场强)

$$\vec{E} = \vec{E}_{R_2} - \vec{E}_{R_1} \quad E = \frac{\sigma}{2\epsilon_0} \left[1 - \frac{x}{(R^2 + x^2)^{1/2}} \right]$$

$$= \frac{x\sigma}{2\epsilon_0} \left[\frac{1}{(R_1^2 + x^2)^{1/2}} - \frac{1}{(R_2^2 + x^2)^{1/2}} \right] \vec{i}$$



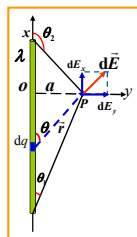
10

几种典型带电体的电场分布:

1) 有限长带电直线

$$E_x = \frac{\lambda}{4\pi\epsilon_0 a} (\sin\theta_2 - \sin\theta_1)$$

$$E_y = \frac{\lambda}{4\pi\epsilon_0 a} (\cos\theta_1 - \cos\theta_2)$$

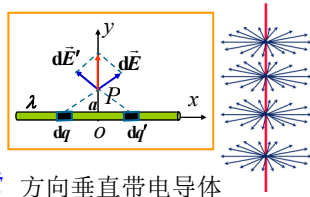


2) 无限长带电直线

$$\theta_1 \rightarrow 0, \quad \theta_2 \rightarrow \pi$$

$$E_x = 0 \quad E = E_y = \frac{\lambda}{2\pi\epsilon_0 a}$$

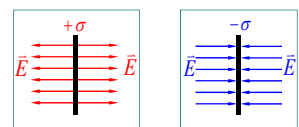
$$E = E_y = \frac{\lambda}{2\pi\epsilon_0 a}$$



\vec{E} 方向垂直带电导体

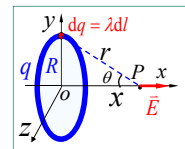
3) 无限大带电平面

$$E = \frac{\sigma}{2\epsilon_0}$$



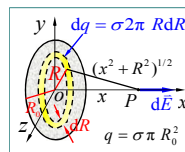
4) 带电圆环轴线上的场强

$$E = \frac{qx}{4\pi\epsilon_0 (x^2 + R^2)^{3/2}}$$



5) 带电圆盘轴线上的场强

$$E = \frac{\sigma}{2\epsilon_0} \left[1 - \frac{x}{(R^2 + x^2)^{1/2}} \right]$$



三、真空中的高斯定理

(1) 电场线 静电场电场线特性

①始于正电荷，止于负电荷(或来自无穷远，去向无穷远)；②电场线不相交；③静电场电场线不闭合。

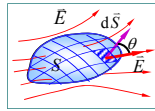
$$(2) \text{ 电通量 } \Phi_e = \int_S \vec{E} \cdot d\vec{S}$$

(3) 真空中的高斯定理

$$\Phi_e = \oint_S \vec{E} \cdot d\vec{S} = \frac{1}{\epsilon_0} \sum q_i$$

通过封闭曲面的电通量由面内的电荷决定

\vec{E} 是面元 dS 所在处的场强，由全部电荷(面内外电荷)共同产生的



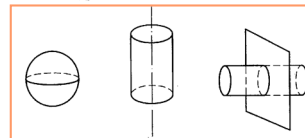
封闭面内电荷代数和

(4) 利用高斯定理求 \vec{E} 步骤为:

①由电荷分布的对称性分析电场分布的对称性。

②在对称性分析的基础上选取高斯面。目的是使

$\oint_S \vec{E} \cdot d\vec{S}$ 能够积分，成为 E 与面积的乘积形式。



(球对称、轴对称、面对称)

选取高斯面的技巧:

- 使场强处处与面法线方向垂直，以致该面上的电通量为零。
- 使场强处处与面法线方向平行，且面上场强为恒量。这种面上的电通量简单地为 ES 。

③由高斯定理 $\oint_S \vec{E} \cdot d\vec{S} = \frac{1}{\epsilon_0} \sum q_{\text{内}}$ 求出电场的大小，并说明其方向。

例4 已知球体半径为 R ，带电量为 q (电荷体密度为 ρ)。

求:均匀带电球体的电场强度分布。

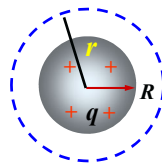
解:球外 $r \geq R$

$$\oint_S \vec{E} \cdot d\vec{S} = E 4\pi r^2 = \frac{q}{\epsilon_0}$$

$$E = \frac{1}{4\pi\epsilon_0} \frac{q}{r^2} \vec{r}^0$$

$$= \frac{\rho}{3\epsilon_0} \frac{R^3}{r^2} \vec{r}^0$$

$$\rho = \frac{q}{\frac{4\pi R^3}{3}} = \frac{3q}{4\pi R^3}$$



15

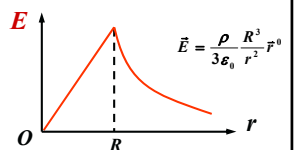
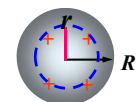
球内 $r < R$

$$\oint_S \vec{E} \cdot d\vec{S} = E \cdot 4\pi r^2$$

$$= \frac{1}{\epsilon_0} q' = \frac{1}{\epsilon_0} \frac{4}{3} \pi r^3 \rho$$

$$E = \frac{\rho}{3\epsilon_0} r$$

$$\vec{E} = \frac{\rho}{3\epsilon_0} \vec{r}$$



电场分布曲线

16

例5 “无限大”均匀带电平面上电荷面密度为 σ 。

求:电场强度分布。

解:电场强度分布具有面对称性。

空间各点电场强度分布具有面对称性，即离带电平面等距离处各点电场强度 E 的大小相等，方向与带电平面垂直。

选取一个圆柱形高斯面

$$\Phi_e = \oint_S \vec{E} \cdot d\vec{S}$$

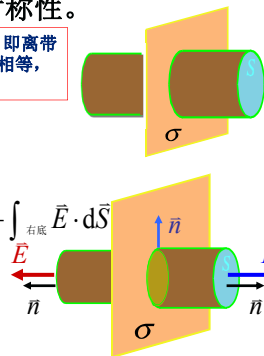
$$= \int_{\text{侧}} \vec{E} \cdot d\vec{S} + \int_{\text{左底}} \vec{E} \cdot d\vec{S} + \int_{\text{右底}} \vec{E} \cdot d\vec{S}$$

$$= 0 + ES + ES = 2ES$$

根据高斯定理, 有

$$2ES = \frac{1}{\epsilon_0} \sigma S$$

$$E = \frac{\sigma}{2\epsilon_0}$$



17

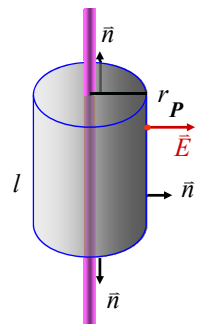
例6 无限长均匀带电直线的电荷线密度为 $+\lambda$ 。

求:距直线 r 处一点 P 的电场强度。

分析: 电场分布具有轴对称性。

距离导线 r 处一点 P 点的场强方向一定垂直于带电直导线沿径向，且 r 相同处场强大小相同。

以带电直导线为轴，作一个通过 P 点，高为 l 的圆筒形封闭面为高斯面 S ，通过 S 面的电通量为圆柱侧面和上下底面三部分的通量和。



18

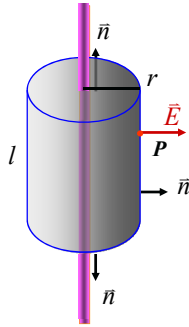
解: 电场分布具有轴对称性。

过P点作高斯面

$$\begin{aligned}\Phi_e &= \oint_S \vec{E} \cdot d\vec{S} \\ &= \int_{\text{侧}} \vec{E} \cdot d\vec{S} + \int_{\text{上底}} \vec{E} \cdot d\vec{S} + \int_{\text{下底}} \vec{E} \cdot d\vec{S} \\ &= \int_{\text{侧}} E dS = E \int_{\text{侧}} dS = E \cdot 2\pi r \cdot l\end{aligned}$$

根据高斯定理得

$$E \cdot 2\pi r \cdot l = \frac{1}{\epsilon_0} \lambda l \quad \boxed{E = \frac{\lambda}{2\pi\epsilon_0 r}}$$



19

四、静电场的环路定理

$$\oint_L \vec{E} \cdot d\vec{l} = 0 \quad \rightarrow$$

- 静电场是保守场
- 静电场是无旋场

五、电势能、电势

(1) 电势能 $A_{ab} = \int_a^b q_0 \vec{E} \cdot d\vec{l} = -(W_b - W_a) = W_a - W_b$

令 $W_b = 0$ $W_a = A_{a'0''} = \int_a^{0''} q_0 \vec{E} \cdot d\vec{l}$

(2) 电势

a 点电势 $u_a = \frac{W_a}{q_0} = \frac{A_{a'0''}}{q_0} \quad u_a = \int_a^{0''} \vec{E} \cdot d\vec{l}$

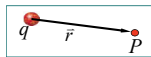
(3) 电势差 $U_{ab} = u_a - u_b = \int_a^b \vec{E} \cdot d\vec{l}$

◆ 静电场力的功 $A_{ab} = \int_a^b q_0 \vec{E} \cdot d\vec{l} = q_0 U_{ab} = q_0 (u_a - u_b)$

(4) 电势的计算 令 $U_\infty = 0$

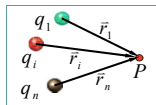
① 点电荷的电势

$$u_P = \frac{q}{4\pi\epsilon_0 r}$$



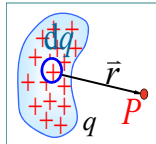
② 点电荷系的电势

$$u_P = \sum_i u_{Pi} = \sum_i \frac{q_i}{4\pi\epsilon_0 r_i}$$



③ 电荷连续分布

$$u_P = \int \frac{dq}{4\pi\epsilon_0 r}$$



(5) 电势与电场强度的微分关系

$$\vec{E} = -\left(\frac{\partial u}{\partial x} \vec{i} + \frac{\partial u}{\partial y} \vec{j} + \frac{\partial u}{\partial z} \vec{k}\right) = -\text{grad}(u) = -\nabla u$$

$$E_x = -\frac{\partial u}{\partial x} \quad E_y = -\frac{\partial u}{\partial y} \quad E_z = -\frac{\partial u}{\partial z}$$

讨论

求电势的方法

① 已知场源电荷的分布, 利用点电荷电场的电势公式及电势叠加原理进行电势的求解, 如

利用 $u_P = \int \frac{dq}{4\pi\epsilon_0 r}$ 或 $u_P = \sum_i \frac{q_i}{4\pi\epsilon_0 r_i}$

(利用了点电荷电势公式, 这一结果已选无限远处为电势零点, 即使用此公式的前提条件为有限大带电体且选无限远处为电势零点。)

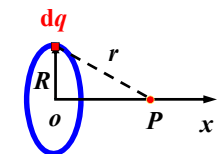
② 已知场强的分布, 利用电势与场强的积分关系, 即电势的定义式计算电势。

$$u_P = \int_P^{0''} \vec{E} \cdot d\vec{l}$$

例1 均匀带电圆环半径为R, 电量q。

求 圆环轴线上一点的电势。

解 建立如图坐标系, 选取电荷元 dq



$$\begin{aligned}u_P &= \int du = \int_0^q \frac{dq}{4\pi\epsilon_0 r} \\ &= \frac{q}{4\pi\epsilon_0 r} = \frac{q}{4\pi\epsilon_0 \sqrt{R^2 + x^2}}\end{aligned}$$

24

利用以上结果, 可以计算均匀带电圆盘轴线上 p 点的电势。

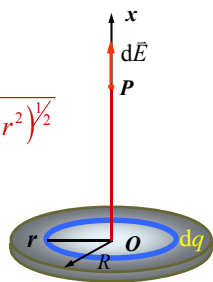
在盘上取一小圆环, 带电量为:

$$dq = \sigma 2\pi r dr$$

圆环在 p 点的电势 $du = \frac{dq}{4\pi\epsilon_0(x^2 + r^2)^{3/2}}$

$$u = \int du = \frac{1}{4\pi\epsilon_0} \int_0^R \frac{\sigma 2\pi r dr}{(x^2 + r^2)^{3/2}}$$

$$= \frac{\sigma}{2\epsilon_0} (\sqrt{x^2 + R^2} - x)$$



25

$$u = \frac{\sigma}{2\epsilon_0} (\sqrt{x^2 + R^2} - x)$$

当 $x \gg R$ 时

$$\sqrt{x^2 + R^2} \approx x + \frac{R^2}{2x}$$

$$u \approx \frac{\sigma}{2\epsilon_0} \frac{R^2}{2x} = \frac{Q}{4\pi\epsilon_0 x}$$

在离圆盘很远处, 可以把圆盘看成一个点电荷。

26

例3 求电荷线密度为 λ 的无限长带电直线空间中的电势分布。

取 a 点为电势零点, a 点距离带电直线为 x_a

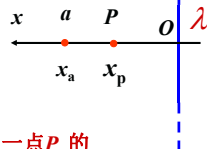
$$u_p = \int_{(P)}^{(a)} \vec{E} \cdot d\vec{l} = \int_{x_p}^{x_a} \frac{\lambda}{2\pi\epsilon_0 x} dx$$

$$= \frac{\lambda}{2\pi\epsilon_0} (\ln x_a - \ln x_p)$$

取 $x_a = 1$, $\ln x_a = 0$ (场中任意一点 P 的电势表达式最简捷)

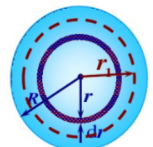
$$u_p = -\frac{\lambda}{2\pi\epsilon_0} \ln x$$

离带电直线的距离



27

一半径为 R 的带电球体, 球体内电荷体密度分布为 $\rho = (qr)/(\pi R^4)$
求: (1) 带电球体的总电量; (2) 球体内外各点的电场强度;
(3) 球体内外各点的电势。



解: (1) 在球内取半径为 r 、厚为 dr 的薄球壳, 该壳内所包含的电荷为

$$dq = \rho dV = \frac{qr}{\pi R^4} 4\pi r^2 dr = \frac{4qr^3}{R^4} dr$$

28

$$dq = \rho dV = \frac{qr}{\pi R^4} 4\pi r^2 dr = \frac{4qr^3}{R^4} dr$$

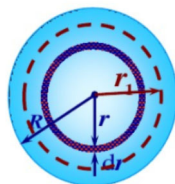
则球体所带的总电荷为

$$Q = \int_V \rho dV = \frac{4q}{R^4} \int_0^R r^3 dr = q$$

(2) 在球内作一半径为 r_1 的高斯球面, 按高斯定理有

$$4\pi r_1^2 E_1 = \frac{1}{\epsilon_0} \int_0^{r_1} \frac{qr}{\pi R^4} \cdot 4\pi r^2 dr = \frac{qr_1^4}{\epsilon_0 R^4}$$

得 $E_1 = \frac{qr_1^2}{4\pi\epsilon_0 R^4} \quad (r_1 \leq R) \quad \vec{E}_1$ 方向沿半径向外



29

在球体外作半径为 r_2 的高斯球面, 按高斯定理有

$$4\pi r_2^2 E_2 = q / \epsilon_0 \quad \text{得} \quad E_2 = \frac{q}{4\pi\epsilon_0 r_2^2} \quad (r_2 > R)$$

\vec{E}_2 方向沿半径向外。

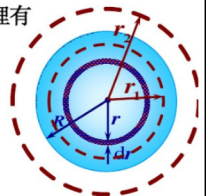
(3) 球内电势

$$U_1 = \int_{r_1}^R \vec{E}_1 \cdot d\vec{l} + \int_R^\infty \vec{E}_2 \cdot d\vec{l} = \int_{r_1}^R \frac{qr^2}{4\pi\epsilon_0 R^4} dr + \int_R^\infty \frac{q}{4\pi\epsilon_0 r^2} dr$$

$$= \frac{q}{3\pi\epsilon_0 R} - \frac{qr_1^3}{12\pi\epsilon_0 R^4} = \frac{q}{12\pi\epsilon_0 R} \left(4 - \frac{r_1^3}{R^3} \right) \quad (r_1 \leq R)$$

球外电势

$$U_2 = \int_{r_2}^\infty \vec{E}_2 \cdot d\vec{l} = \int_{r_2}^\infty \frac{q}{4\pi\epsilon_0 r^2} dr = \frac{q}{4\pi\epsilon_0 r_2} \quad (r_2 > R)$$



30

六、静电场中的导体

1. 静电平衡条件: 导体内部场强处处为零。

推论: 1) 整个导体是等势体, 表面是等势面。

2) 导体表面上的场强垂直于该点表面。

2. 在静电平衡条件下, 导体上的电荷分布:

1) 实心导体: (不论导体是否带电, 不论导体是否在外电场中)

导体内部没有净电荷, 电荷只能分布在导体表面上。

2) 空腔导体: 腔内无电荷时 - 电荷只分布在外表面上;

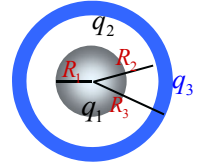
腔内有电荷时 - 导体内表面电荷与腔内电荷代数之和为零。

3) 导体表面电荷密度与场强关系: $\vec{E} = \frac{\sigma}{\epsilon_0} \vec{n}$

31

例1 一个半径为 R_1 , 带电量为 q_1 的金属球, 放在另一个带电金属球壳内, 其内、外半径分别为 R_2 和 R_3 , 球壳带电量为 q 。

求: 此系统的电荷、电场分布和电势分布以及球与球壳间的电势差; **如果用导线将球壳和球连接, 又如何?**



解: 电荷分布:

设球壳内、外表面电量为 q_2 、 q_3 。

球体外表面: q_1 球壳内表面: $q_2 = -q_1$

32

球壳外表面: $q_3 = q - q_2 = q + q_1$

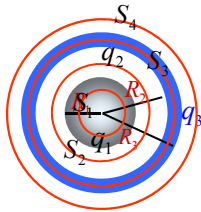
电场分布: 作高斯面 S_1 、 S_2 、 S_3 和 S_4

由高斯定理 $\oint_S \vec{E} \cdot d\vec{s} = \sum \frac{q}{\epsilon_0}$

得 $E_1 = 0$ $r < R_1$

$$E_2 = \frac{q_1}{4\pi\epsilon_0 r^2} \quad R_1 < r < R_2$$

$$E_3 = 0 \quad R_2 < r < R_3 \quad E_4 = \frac{q_1 + q}{4\pi\epsilon_0 r^2} \quad r > R_3$$



33

电势分布:

$$u_a = \int_a^{\infty} \vec{E} \cdot d\vec{l}$$

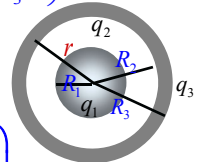
$$r < R_1 \quad u_1 = \int_r^{R_1} \vec{E}_1 \cdot d\vec{l} + \int_{R_1}^{R_2} \vec{E}_2 \cdot d\vec{l} + \int_{R_2}^{R_3} \vec{E}_3 \cdot d\vec{l} + \int_{R_3}^{\infty} \vec{E}_4 \cdot d\vec{l}$$

$$= \frac{1}{4\pi\epsilon_0} \left(\frac{q_1}{R_1} - \frac{q_1}{R_2} + \frac{q_1 + q}{R_3} \right)$$

$$R_1 < r < R_2$$

$$u_2 = \int_r^{R_2} \vec{E}_2 \cdot d\vec{l} + \int_{R_3}^{\infty} \vec{E}_4 \cdot d\vec{l}$$

$$u_2 = \frac{1}{4\pi\epsilon_0} \left(\frac{q_1}{r} - \frac{q_1}{R_2} + \frac{q_1 + q}{R_3} \right)$$



34

$$R_2 < r < R_3 \quad u_3 = \frac{1}{4\pi\epsilon_0} \frac{q_1 + q}{R_3}$$

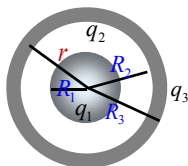
$$r > R_3 \quad u_4 = \frac{1}{4\pi\epsilon_0} \frac{q_1 + q}{r}$$

金属球与金属壳之间的电势差

$$U_{ab} = \int_a^b \vec{E} \cdot d\vec{l} \quad E_2 = \frac{q_1}{4\pi\epsilon_0 r^2}$$

$$U_{AB} = \int_{R_1}^{R_2} \frac{q_1}{4\pi\epsilon_0 r^2} dr$$

$$= \frac{q_1}{4\pi\epsilon_0} \left(\frac{1}{R_2} - \frac{1}{R_1} \right)$$



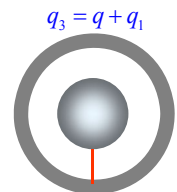
35

用导线将金属球和金属球壳连接, 则球壳的内表面和球表面的电荷会完全中和, 重新达到静电平衡, 二者之间的场强和电势差均为零。

$$q_1 = 0, \quad q_2 = 0$$

球壳外表面仍保持有 $q_1 + q$ 的电量, 而且均匀分布, 它外面的电场仍为:

$$E_4 = \frac{q_1 + q}{4\pi\epsilon_0 r^2} \quad r > R_3$$

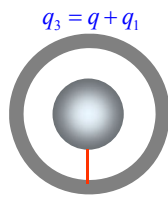


36

连接后,球和球壳为等势体

$$r < R_3 \quad u_1 = u_2 = u_3 = \frac{1}{4\pi\epsilon_0} \frac{q_1 + q}{R_3}$$

$$r > R_3 \quad u_4 = \frac{q_1 + q}{4\pi\epsilon_0 r}$$



有导体存在时静电场的计算方法

1. 静电平衡的条件和性质: $E_{\text{内}} = 0$ $U_{\text{导体}} = C$
2. 电荷守恒定律;
3. 确定电荷分布, 然后求解。

37

七、电容

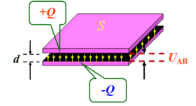
1、孤立导体的电容 $C = \frac{Q}{u}$

2、电容器的电容 $C = \frac{Q}{U_A - U_B}$

几种常见的电容器的电容:

平行板电容器

$$C = \frac{\epsilon_0 S}{d}$$



同心球型电容器

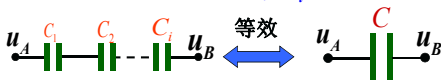
$$C = \frac{4\pi\epsilon_0 R_A R_B}{R_B - R_A} \quad (R_B > R_A)$$

同轴圆柱型电容器

$$C = \frac{2\pi\epsilon_0 l}{\ln(R_B / R_A)} \quad (R_B > R_A)$$

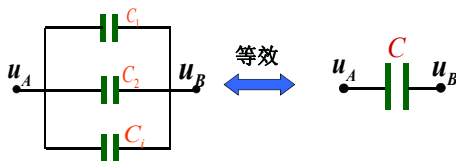
电容器的串联

$$\frac{1}{C} = \sum_i \frac{1}{C_i}$$



电容器的并联

$$C = \sum_i C_i$$



八、静电场的能量

1、带电电容器的能量

$$\text{电容器贮存的电能 } W_e = \frac{Q^2}{2C} = \frac{1}{2} QU = \frac{1}{2} CU^2$$

2、静电场的能量

$$\text{电场能量密度 } w_e = \frac{1}{2} \epsilon_0 E^2$$

电场空间所存储的能量 (电场总能量)

$$W_e = \int_V w_e dV = \int_V \frac{1}{2} \epsilon_0 E^2 dV$$

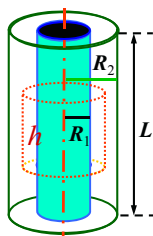
同轴圆柱形电容器的电容

已知: 两筒半径分别为 R_1 (内) 和 R_2 (外), 筒长 L , 筒间为真空。

① 设所带电量为 Q , 求场强

根据高斯定律, 两柱面间场强为:

$$E = \frac{Q}{2\pi\epsilon_0 r L}$$



② 根据场强求电势差

$$U_{AB} = \int_A^B \vec{E} \cdot d\vec{r} = \int_{R_1}^{R_2} E \cdot dr = \int_{R_1}^{R_2} \frac{Q}{2\pi\epsilon_0 r L} dr = \frac{Q}{2\pi\epsilon_0 L} \ln \frac{R_2}{R_1}$$

③ 计算电容 $C = \frac{Q}{U_{AB}} = \frac{2\pi\epsilon_0 L}{\ln \frac{R_2}{R_1}}$

例 半径分别为 a 和 b 的两个金属球, 它们的间距比本身线度大的多, 今用一细导线将两者相连接, 并给系统带上电荷 Q 。

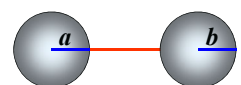
求: 1. 每个球上分配到的电荷;

2. 按电容定义式, 计算此系统的电容。

解: 1. $Q_a + Q_b = Q$

$$u_a = \frac{Q_a}{4\pi\epsilon_0 a} \quad u_b = \frac{Q_b}{4\pi\epsilon_0 b}$$

$$u_a = u_b = u$$



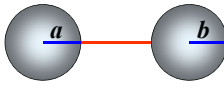
42

$$\frac{Q_a}{4\pi\epsilon_0 a} = \frac{Q_b}{4\pi\epsilon_0 b}$$

即 $\frac{Q_a}{a} = \frac{Q_b}{b}$

$$\therefore Q_a = \frac{aQ}{a+b} \quad Q_b = \frac{bQ}{a+b}$$

2. 电容 $C = \frac{Q}{U} = \frac{Q}{\frac{Q}{4\pi\epsilon_0} \left(\frac{1}{a} - \frac{1}{b} \right)} = 4\pi\epsilon_0 (a+b)$



43

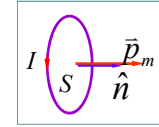
II. 稳恒磁场小结

一、基本概念

1、磁感应强度大小 $B = \frac{F_{\max}}{qv}$

2、载流线圈磁矩

$$\vec{p}_m = IS \hat{n}$$



3、载流线圈的磁力矩

$$\vec{M} = \vec{p}_m \times \vec{B}$$

4、磁通量

$$\Phi_m = \int_S \vec{B} \cdot d\vec{S} = \int_S B dS \cos \theta$$

二、基本实验定律

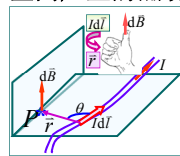
1、毕奥—萨伐尔定律(电流元在空间产生的磁场)

$$d\vec{B} = \frac{\mu_0}{4\pi} \frac{Id\vec{l} \times \vec{r}}{r^3}$$

大小为: $dB = \frac{\mu_0}{4\pi} \frac{Idl \sin \theta}{r^2}$

方法步骤:

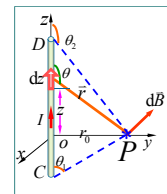
- ①选取合适的电流元 $Id\vec{l}$, 写出电流元在P点的 $d\vec{B}$ 表达式;
- ②选择适当的坐标系, 对 $d\vec{B}$ 投影, 写出各分量, 将矢量积分化为标量积分, 统一变量给出正确的积分上下限, 求出 \vec{B} 的各分量值;
- ③合成 \vec{B} 确定大小方向。



几种典型电流的磁场分布

(1) 有限长直线电流的磁场

$$B = \frac{\mu_0 I}{4\pi r_0} (\cos \theta_1 - \cos \theta_2)$$

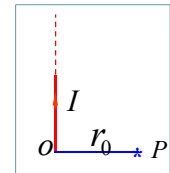


(2) 无限长载流直导线的磁场

$$\theta_1 \rightarrow 0, \theta_2 \rightarrow \pi \quad B = \frac{\mu_0 I}{2\pi r_0}$$

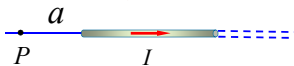
(3) 半无限长载流直导线的磁场

$$\theta_1 \rightarrow \frac{\pi}{2}, \theta_2 \rightarrow \pi \quad B_P = \frac{\mu_0 I}{4\pi r_0}$$



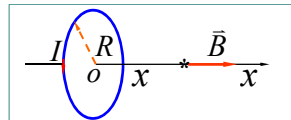
(4) 载流导线延长线上任一点的磁场

$$\vec{B} = 0$$



(5) 载流圆线圈轴线上的磁场

$$B = \frac{\mu_0 I R^2}{2(x^2 + R^2)^{3/2}}$$



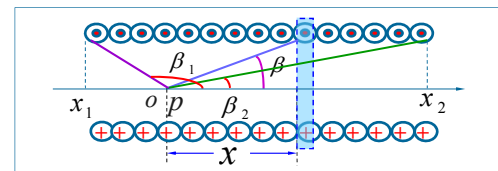
(6) 载流圆环中心的磁场

$$B = \frac{\mu_0 I}{2R}$$

(7) 密绕长直螺线管、密绕螺线环内部的磁场

$$B = \mu_0 n I$$

(8) 载流直螺线管的磁场



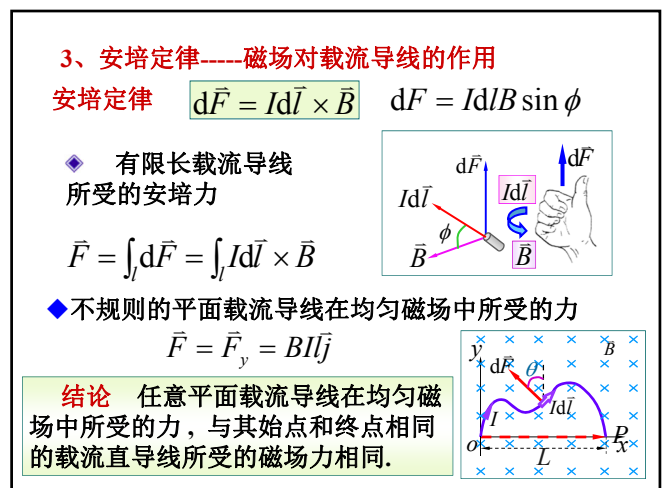
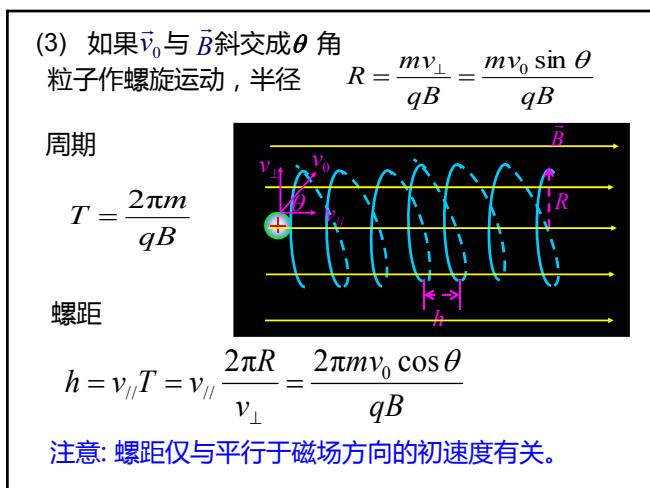
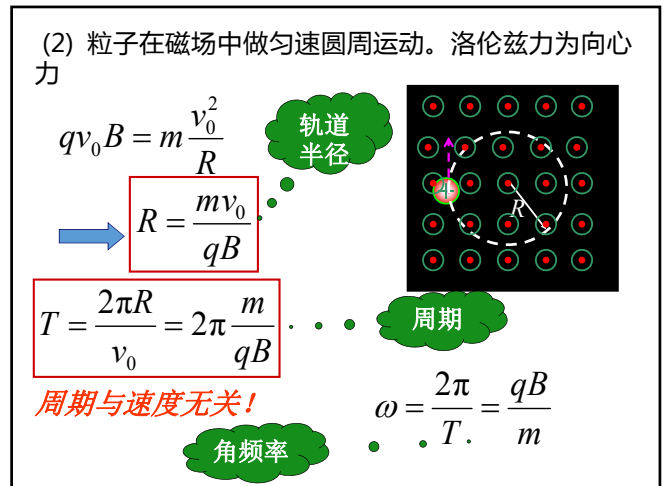
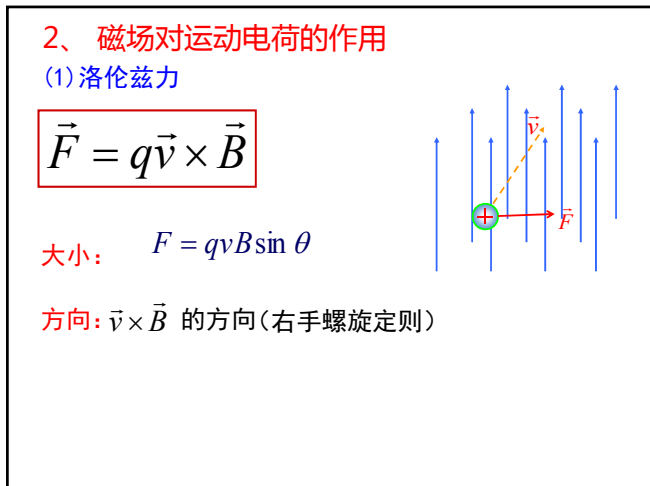
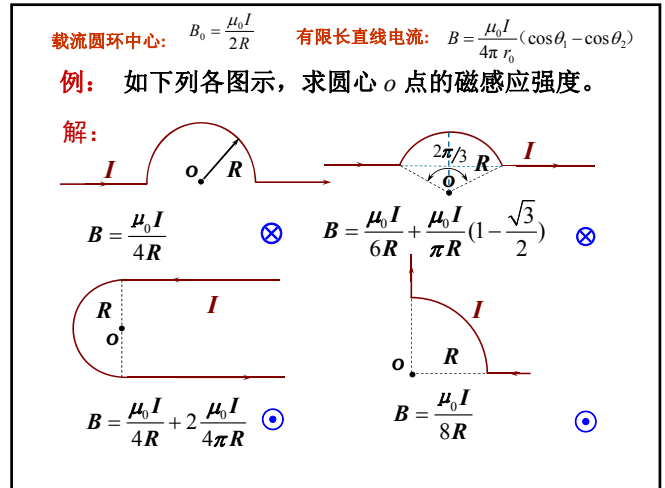
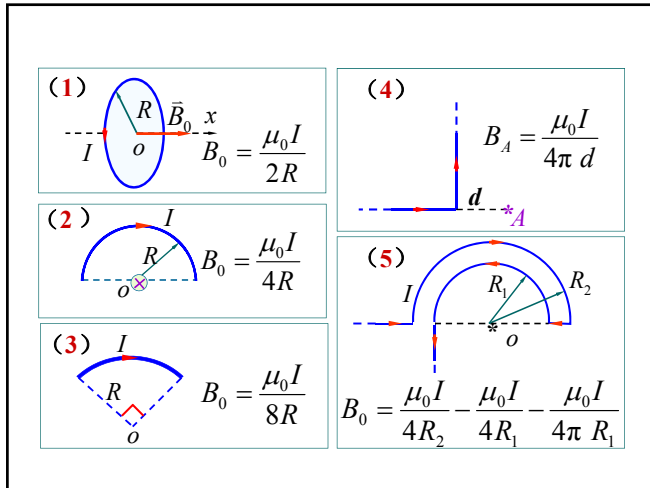
$$B = \frac{\mu_0 n I}{2} (\cos \beta_2 - \cos \beta_1)$$

无限长的螺线管

$$B = \mu_0 n I$$

半无限长螺线管

$$B = \frac{1}{2} \mu_0 n I$$



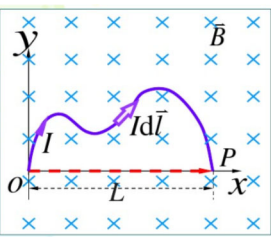
解: 如图取电流元 $I d\vec{l}$, 则

$$d\vec{l} = dx\vec{j} + dy\vec{j}$$

$$\vec{B} = -B\vec{k}$$

$$\therefore d\vec{F} = I d\vec{l} \times \vec{B} = I(dx\vec{i} + dy\vec{j}) \times (-B\vec{k})$$

$$= IBdx\vec{j} - IBdy\vec{i} = dF_y\vec{j} + dF_x\vec{i}$$

$$\therefore F_y = \int_L IBdy = IBL \quad F_x = 0$$


均匀磁场中, 任意闭合载流线圈:

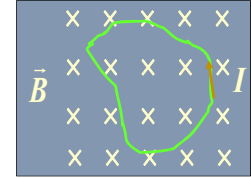
整个载流线圈在均匀磁场中受到的安培力为

$$\vec{F} = \oint d\vec{F} = \oint I d\vec{l} \times \vec{B}$$

$$= I(\oint d\vec{l}) \times \vec{B}$$

$$\oint d\vec{l} = 0 \quad \leftarrow \text{根据矢量多边形定理, 对整个线圈}$$

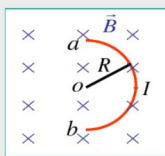
$$\vec{F} = I(\oint d\vec{l}) \times \vec{B} = 0$$



闭合载流线圈在均匀磁场中受到的安培力矢量和为零。---普适结论

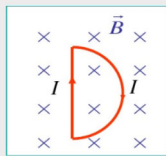
练习:

1. 求电流在磁场中所受的力

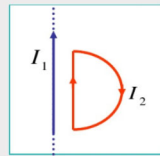


$$F = BI \cdot 2R$$

方向向右



$$F = 0$$



$$I_2 \text{ 受力 } F \neq 0$$

57

例3 求一载流导线框 CDEFC 在无限长直导线磁场中的受力。

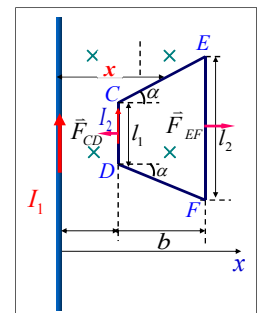
解 $B = \frac{\mu_0 I_1}{2\pi x}$

$$F_{CD} = I_2 l_1 B_1 = \frac{\mu_0 I_1}{2\pi a} I_2 l_1$$

方向向左。

$$F_{EF} = I_2 l_2 B_2 = \frac{\mu_0 I_1}{2\pi(a+b)} I_2 l_2$$

方向向右。



CE 段受力

$$dF = BI_2 dl \quad dl \cos \alpha = dx$$

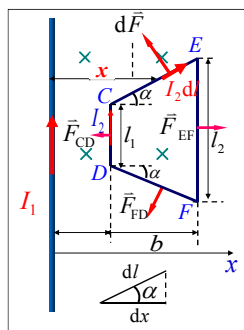
$$F_{CE} = \int_a^{a+b} \frac{\mu_0 I_1}{2\pi x} I_2 \frac{dx}{\cos \alpha}$$

$$= \frac{\mu_0 I_1 I_2}{2\pi \cos \alpha} \ln \frac{a+b}{a}$$

FD 段受力

$$F_{FD} = \frac{\mu_0 I_1 I_2}{2\pi \cos \alpha} \ln \frac{a+b}{a}$$

$$\therefore \vec{F}_{\text{合}} = (F_{EF} - F_{CD} - 2F_{CE} \sin \alpha) \vec{i}$$



静电荷受力:

$$\vec{F} = q\vec{E}$$

运动电荷受力:

$$\vec{F} = q\vec{v} \times \vec{B}$$

电流元受力:

$$d\vec{F} = I d\vec{l} \times \vec{B}$$

电偶极子所受力矩:

$$\vec{M} = \vec{p} \times \vec{E}$$

载流线圈所受磁矩:

$$\vec{M} = \vec{p}_m \times \vec{B}$$

三、稳恒磁场的基本性质

1、磁场中的高斯定理： $\Phi_m = \oint_S \vec{B} \cdot d\vec{S} = 0$

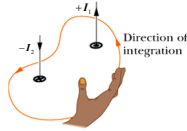
2、安培环路定理：

$$\oint_L \vec{B} \cdot d\vec{l} = \mu_0 \sum_{i=1}^n I_i$$

环路所包围的电流

空间所有电流共同产生

由环路内电流决定

注意 电流 I 正负的规定：若电流流向与积分回路构成右手螺旋，电流 I 取正值；反之，电流 I 取负值。

$$\oint_L \vec{B} \cdot d\vec{l} = \mu_0 \sum_{i=1}^n I_i$$

明确以下几点：

(1) 电流正负规定：电流方向与环路方向满足右手螺旋定则电流 I 取正；反之电流 I 取负。(2) \vec{B} 是指环路上一点的磁感应强度，不是任意点的，它是空间所有电流共同产生的。

(3) 安培环路定理适用于稳恒电流的磁场。

(4) 安培环路定理说明磁场性质——磁场是非保守场，是涡旋场。

稳恒磁场是有旋、无源场

场	磁场	电场
定义	运动电荷产生磁场力运动电荷	电荷产生电场力电荷
描述	磁感应强度 $B = \frac{F_{max}}{qv}$	电场强度 $\vec{E} = \frac{\vec{F}}{q} = \frac{F}{q} \hat{r}$
力	点电荷 $\vec{F} = q\vec{v} \times \vec{B}$ 电流元 $d\vec{F} = I d\vec{l} \times \vec{B}$ 载流导线 $\vec{F} = \int I d\vec{l} \times \vec{B}$	点电荷 $\vec{F} = q\vec{E}$ 电荷元 $d\vec{F} = dq\vec{E}$ 带电体 $\vec{F} = \int dq\vec{E}$
产生	$d\vec{B} = \frac{\mu_0}{4\pi} \frac{Id\vec{l} \times \hat{r}}{r^2}$	$d\vec{E} = \frac{1}{4\pi\epsilon_0} \frac{dq}{r^2} \hat{r}$
高斯定理	$\oint_S \vec{B} \cdot d\vec{S} = 0$	$\oint_S \vec{E} \cdot d\vec{S} = \sum \frac{q}{\epsilon_0}$
环路定理	$\oint_L \vec{B} \cdot d\vec{l} = \mu_0 \sum I_i$	$\oint_L \vec{E} \cdot d\vec{l} = 0$

场	磁场	电场
产生	$d\vec{B} = \frac{\mu_0}{4\pi} \frac{Id\vec{l} \times \hat{r}}{r^2}$	$d\vec{E} = \frac{1}{4\pi\epsilon_0} \frac{dq}{r^2} \hat{r}$
高斯定理	$\oint_S \vec{B} \cdot d\vec{S} = 0$	$\oint_S \vec{E} \cdot d\vec{S} = \sum \frac{q}{\epsilon_0}$
环路定理	$\oint_L \vec{B} \cdot d\vec{l} = \mu_0 \sum I_i$	$\oint_L \vec{E} \cdot d\vec{l} = 0$
求场的方法	磁场叠加原理 $\vec{B} = \left\{ \sum_i \vec{B}_i \right\}$ 安培环路定理	场强叠加原理 $\vec{E} = \left\{ \sum_i \vec{E}_i \right\}$ 高斯定理 由电势梯度 $\vec{E} = -\nabla U$

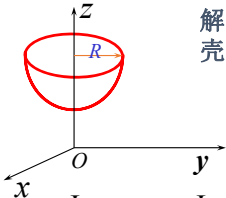
例：一磁场 $\vec{B} = a\vec{i} + b\vec{j} + c\vec{k} (T)$ ，则通过半径为 R 、开口向 z 轴正方向的半球壳表面的磁通量为 $-\pi c R^2$ 。解：作半径为 R 的圆平面封住半球壳，由磁场的高斯定理得：

$$\Phi_m = \Phi_{\text{半球壳}} + \Phi_{\text{圆平面}}$$

$$= \oint_S \vec{B} \cdot d\vec{S} = 0$$

$$\Phi_{\text{半球壳}} = -\Phi_{\text{圆平面}} = -\int \vec{B} \cdot d\vec{S}_{\text{圆面}} = -(\vec{B} \cdot \vec{S}_{\text{圆面}})$$

$$= -(a\vec{i} + b\vec{j} + c\vec{k}) \cdot (\pi R^2 \vec{k}) = -\pi R^2 c$$



利用安培环路定理求磁感应强度的关键：根据磁场分布的对称性，选取合适的闭合环路。

选取环路原则：

(1) 环路要经过所求的场点；

(2) 闭合环路的形状尽可能简单，总长度容易求；

(3) 环路上各点 \vec{B} 大小相等，方向平行于线元 $d\vec{l}$ 。目的是将 $\oint_L \vec{B} \cdot d\vec{l} = \mu_0 \sum I$ 写成： $B = \frac{\mu_0 \sum I}{\oint_L dl}$ 。或 \vec{B} 的方向与环路方向垂直，

$$\vec{B} \perp d\vec{l}, \quad \cos \theta = 0 \Rightarrow \vec{B} \cdot d\vec{l} = 0$$

例2 求无限长均匀载流圆柱导体产生的磁场。

电流 I 均匀分布在圆柱的横截面内

已知: I , R , 磁场的轴对称分布特点。

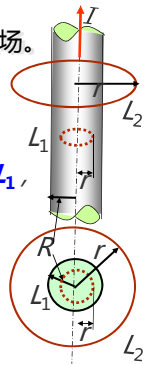
取 $r < R$, 在垂直于轴线平面内作圆形回路 L_1 ,

$$\oint_L \vec{B} \cdot d\vec{l} = B \oint_L dl = B 2\pi r = \mu_0 \sum_i I_i$$

$$= \mu_0 \frac{I}{\pi R^2} \pi r^2 \quad B_{\text{内}} = \frac{\mu_0 I r}{2\pi R^2}$$

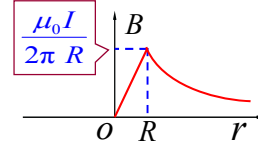
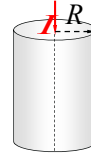
取 $r > R$ 在垂直于轴线平面内作圆形回路 L_2 ,

$$\oint_L \vec{B} \cdot d\vec{l} = 2\pi r B = \mu_0 \sum_i I_i = \mu_0 I \quad B_{\text{外}} = \frac{\mu_0 I}{2\pi r}$$



\vec{B} 的方向与 I 成右螺旋

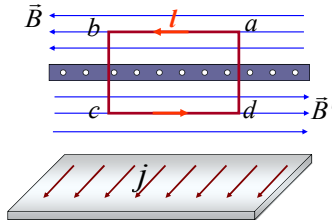
$$\begin{cases} 0 < r < R, & B = \frac{\mu_0 I r}{2\pi R^2} \\ r > R, & B = \frac{\mu_0 I}{2\pi r} \end{cases}$$



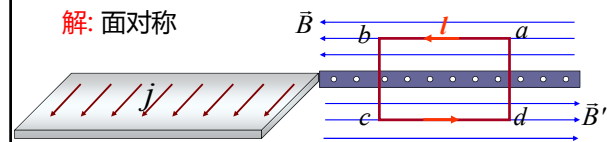
无限长均匀载流圆柱导体的磁感应强度分布图

例5 求“无限大”薄导体板, 单位宽度上的恒定电流为 j , 求导体平板周围的磁感应强度。

解: 面对称



解: 面对称



$$\oint \vec{B} \cdot d\vec{l} = \int_{ab} \vec{B} \cdot d\vec{l} + \int_{bc} \vec{B} \cdot d\vec{l} + \int_{cd} \vec{B} \cdot d\vec{l} + \int_{da} \vec{B} \cdot d\vec{l}$$

$$= B \int_a^b dl + B \int_c^d dl = 2Bab = \mu_0 abj \quad B = \mu_0 j / 2$$

无限大平板:

面电荷密度 σ :

单位宽度上的恒定电流为 j

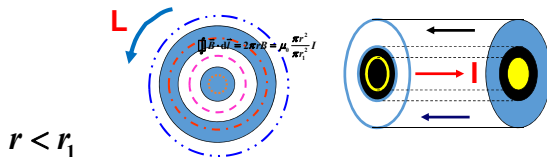
$$E = \frac{\sigma}{2\epsilon_0}$$

$$B = \mu_0 j / 2$$

例: 电缆由导体圆柱和一同轴的导体圆筒构成, 使用时电流从导体流出, 从另一导体流回, 电流均匀分布在横截面上, 设圆柱体的半径为 r_1 , 圆筒的内外半径分为 r_2, r_3 。若场点到轴线的距离为 r

求: 从 0 到 ∞ 范围内各处磁感应强度的大小

解:



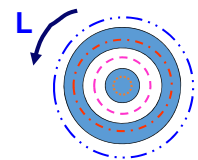
$r < r_1$

$$\oint \vec{B} \cdot d\vec{l} = 2\pi r B = \mu_0 \frac{\pi r^2}{\pi r_1^2} I \quad B = \frac{\mu_0 I r}{2\pi r_1^2}$$

$r_1 < r < r_2$

$$\oint \vec{B} \cdot d\vec{l} = 2\pi r B = \mu_0 I$$

$$B = \frac{\mu_0 I}{2\pi r}$$



$r_2 < r < r_3$

$$\oint \vec{B} \cdot d\vec{l} = 2\pi r B = \mu_0 \left[I - \frac{I\pi(r^2 - r_2^2)}{\pi(r_3^2 - r_2^2)} \right]$$

$$B = \frac{\mu_0 I (r_3^2 - r^2)}{2\pi(r_3^2 - r_2^2)r}$$

$$r > r_3 \quad \oint \vec{B} \cdot d\vec{l} = I - I = 0 \quad B = 0$$

III. 电磁感应小结

一、电磁感应定律

1、法拉第电磁感应定律

$$\varepsilon = - \frac{d\Phi}{dt}$$

用法拉第电磁感应定律确定电动势方向，通常遵循以下步骤：

- ①任意规定回路的绕行正方向；
- ②确定通过回路的磁通量的正负；
- ③确定磁通量的时间变化率的正负；
- ④最后确定感应电动势的正负。

2、楞次定律（是能量守恒定律的一种表现）

闭合的导线回路中所出现的感应电流，总是使它自己所激发的磁场反抗任何引发电磁感应的原因。

二、动生电动势和感生电动势

1、动生电动势

动生电动势的**非**静电力场来源 \Rightarrow 洛伦兹力

一段任意形状的导线L在磁场中运动时： $\varepsilon = \int_L (\vec{v} \times \vec{B}) \cdot d\vec{l}$

整个闭合导线回路L都在磁场中运动时： $\varepsilon = \oint_L (\vec{v} \times \vec{B}) \cdot d\vec{l}$

➤ 动生电动势的计算（两种方法）

① 由法拉第定律求

$$\varepsilon = - \frac{d\Phi}{dt}$$

如果回路不闭合，需加辅助线使其闭合。

ε 大小和方向可分别确定。

1、均匀磁场，平动

例 1 已知： $\vec{v}, \vec{B}, \alpha, L$ 求： ε

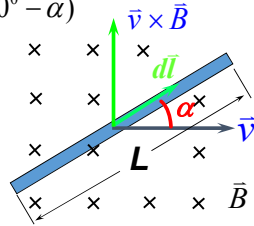
解： $d\varepsilon = (\vec{v} \times \vec{B}) \cdot d\vec{l}$

$$= vB \sin 90^\circ dl \cos(90^\circ - \alpha)$$

$$= Bv \sin \alpha dl$$

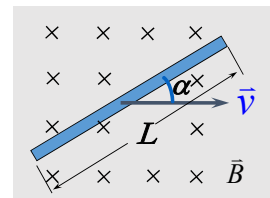
$$\varepsilon = \int Bv \sin \alpha dl$$

$$= BvL \sin \alpha$$

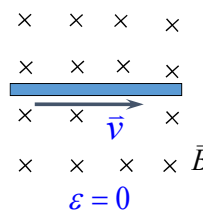


典型结论

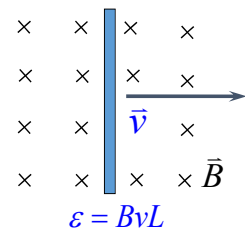
$$\varepsilon = BvL \sin \alpha$$



特例

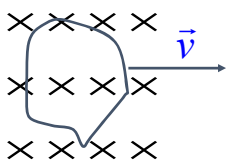


$$\varepsilon = 0$$



$$\varepsilon = BvL$$

均匀磁场 闭合线圈平动



$$\varepsilon_i = - \frac{d\Phi}{dt} = 0$$

例 3 长为L的铜棒，在磁感强度为 \vec{B} 的均匀磁场中以角速度 ω 在与磁场方向垂直的平面内绕棒的一端O匀速转动，求棒中的动生电动势。

解：取线元 $d\vec{l}$ ，方向沿O指向A

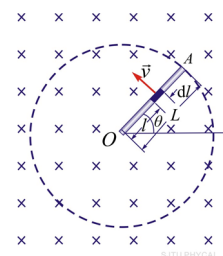
$$v = \omega l$$

$$d\varepsilon_i = (\vec{v} \times \vec{B}) \cdot d\vec{l} = -vB dl$$

金属棒上总电动势为

$$\varepsilon_i = - \int_0^L Bv dl = - \int_0^L B\omega l dl = - \frac{1}{2} B\omega L^2$$

方向为A→O，即O点电势较高。



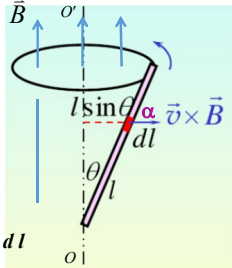
例 4 长度为 L 的金属杆在均匀磁场中绕平行于磁场方向的定轴 OO' 转动，已知杆相对于均匀磁场的方位角为 θ ，杆的角速度为 ω ，转动方向如图所示。试求金属杆在转动过程中产生的动生电动势的大小和方向。

解：在距 O 点为 l 处的 $d\vec{l}$ 线元中的动生电动势为

$$d\varepsilon = (\vec{v} \times \vec{B}) \cdot d\vec{l}$$

$$v = \omega l \sin \theta$$

$$d\varepsilon = \int_L (\vec{v} \times \vec{B}) \cdot d\vec{l} = \int_L v B \sin\left(\frac{1}{2}\pi\right) \cos \alpha dl$$

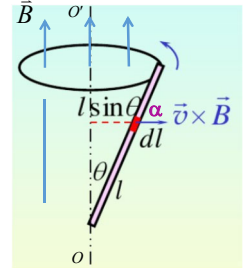


$$\varepsilon = \int_L (\vec{v} \times \vec{B}) \cdot d\vec{l} = \int_L v B \sin\left(\frac{1}{2}\pi\right) \cos \alpha dl$$

$$= \int_L \omega l B \sin \theta dl \sin \theta = \omega B \sin^2 \theta \int_0^L l dl$$

$$= \frac{1}{2} \omega B L^2 \sin^2 \theta$$

ε 的方向沿着杆指向上端



2、非均匀磁场

例 5 一长直导线中通电流 I ，有一长为 l 的金属棒与导线垂直共面(左端相距为 a)。当棒以速度 v 平行与长直导线匀速运动时，求棒产生的动生电动势。

解： $B = \frac{\mu_0 I}{2\pi x}$

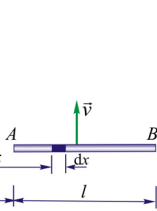
$$d\varepsilon_i = (\vec{v} \times \vec{B}) \cdot d\vec{x} = -Bv dx$$

$$\varepsilon_i = - \int_a^{a+l} \frac{\mu_0 I v}{2\pi} \frac{dx}{x}$$

$$= - \frac{\mu_0 I v}{2\pi} \ln \frac{a+l}{a}$$

方向： $B \rightarrow A$

SJTU PHYCAI



三、感生电动势和涡旋电场

1、感生电动势

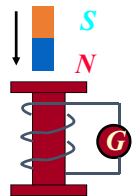
导体回路不动，由于磁场变化引起穿过回路的磁通量变化，产生的感应电动势叫感生电动势。

显然，产生感生电动势的非静电力一定不是洛伦兹力。

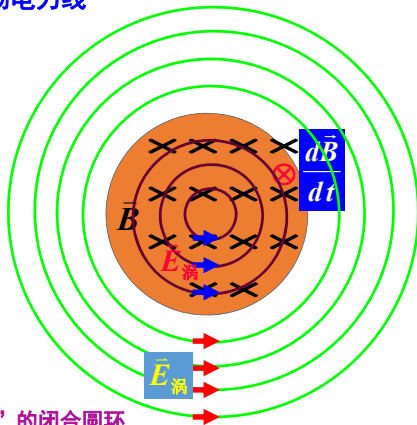
产生感生电动势的非静电力是什么？

2、麦克斯韦假设

变化的磁场在其周围空间会激发出电场线为闭合曲线的电场，称其为感生电场 $\vec{E}_{\text{感}}$ 或涡旋电场 $\vec{E}_{\text{涡}}$



感生电场电力线



“无头无尾”的闭合圆环

三、感生电动势和涡旋电场

1、感生电动势

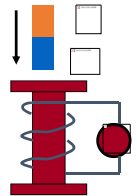
导体回路不动，由于磁场变化引起穿过回路的磁通量变化，产生的感应电动势叫感生电动势。

显然，产生感生电动势的非静电力一定不是洛伦兹力。

产生感生电动势的非静电力是什么？

2、麦克斯韦假设

变化的磁场在其周围空间会激发出电场线为闭合曲线的电场，称其为感生电场 或涡旋电场



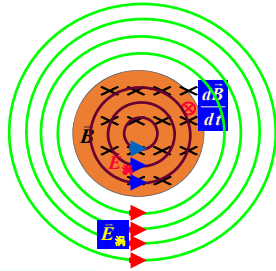
3、感生电场的环路定理

由电动势的定义

$$\varepsilon_i = \oint_L \vec{E}_{\text{感}} \cdot d\vec{l}$$

由法拉第电磁感应定律

$$\varepsilon_i = -\frac{d\Phi}{dt}$$



$$\varepsilon_i = \oint_L \vec{E}_{\text{感}} \cdot d\vec{l} = -\frac{d\Phi}{dt} = -\frac{d}{dt} \int_S \vec{B} \cdot d\vec{S}$$

电磁场基本方程

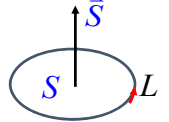
当回路固定不动 $\Rightarrow \varepsilon_i = \oint_L \vec{E}_{\text{感}} \cdot d\vec{l} = -\int_S \frac{\partial \vec{B}}{\partial t} \cdot d\vec{S}$

讨论 $\oint_L \vec{E}_{\text{感}} \cdot d\vec{l} = -\int_S \frac{\partial \vec{B}}{\partial t} \cdot d\vec{S}$

1) 此式反映变化磁场和感生电场的相互关系，即感生电场是由变化的磁场产生的。

2) S 是以闭合路径 L 为边界的任一平面或曲面。

闭合路径 L 的积分绕行与其所包围面积 S 的法线正方向满足右手螺旋法则。



$\frac{\partial \vec{B}}{\partial t}$ 是曲面上的任一面积元上磁感应强度的变化率

不是积分回路线元上的磁感应强度的变化率

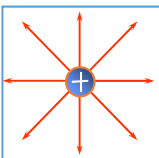
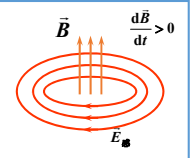
3) 这是电磁场基本方程之一。

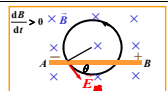
4) 某一段细导线内的感生电动势

$$\varepsilon_i = \int_a^b \vec{E}_{\text{感}} \cdot d\vec{l}$$

	动生电动势	感生电动势
特点	磁场不变，闭合电路的整体或局部在磁场中运动导致回路中磁通量的变化	闭合回路的任何部分都不动，空间磁场发生变化导致回路中磁通量变化
原因	由于 S 的变化引起回路中 Φ 变化	由于 \vec{B} 的变化引起回路中 Φ 变化
非静电力来源	非静电力就是洛伦兹力，由洛伦兹力对运动电荷作用而产生电动势	变化磁场在它周围空间激发涡旋电场，非静电力就是感生电场力，由感生电场力对电荷做功而产生电动势
结论	$\varepsilon_i = \int (\vec{v} \times \vec{B}) \cdot d\vec{l}$ 其方向由 $\vec{v} \times \vec{B}$ 决定	$\varepsilon_i = \oint \vec{E}_{\text{感}} \cdot d\vec{l} = -\iint_S \frac{\partial \vec{B}}{\partial t} \cdot d\vec{S}$ 其方向由 $\vec{E}_{\text{感}}$ 沿 $d\vec{l}$ 的积分方向决定

4、感生电场的性质及与静电场的比较

比较	静电场	感生电场
起源	由静止电荷激发	由变化的磁场激发
电场线形状	电场线为非闭合曲线 	电场线为闭合曲线 

比较	静电场	感生电场
性质	有源: $\oint_S \vec{E}_{\text{静}} \cdot d\vec{S} = \frac{1}{\epsilon_0} \sum q_{\text{内}}$ 保守: $\oint_L \vec{E}_{\text{静}} \cdot d\vec{l} = 0$	无源: $\oint_S \vec{E}_{\text{感}} \cdot d\vec{S} = 0$ 非保守 (涡旋): $\oint_L \vec{E}_{\text{感}} \cdot d\vec{l} = -\int_S \frac{\partial \vec{B}}{\partial t} \cdot d\vec{S}$
特点	不能脱离源电荷存在	可以脱离“源”在空间传播
对场中电荷的作用	$\vec{F}_{\text{静}} = q \vec{E}_{\text{静}}$	$\vec{F}_{\text{感}} = q \vec{E}_{\text{感}}$
相互联系	$\vec{F}_{\text{静}}$ 作为产生 $\varepsilon_{\text{感}}$ 的非静电力，可以引起导体中电荷堆积，从而建立起静电场。	

5、感生电场的计算 $\oint_L \vec{E}_{\text{感}} \cdot d\vec{l} = -\int_S \frac{\partial \vec{B}}{\partial t} \cdot d\vec{S}$

例 局限于半径 R 的圆柱形空间内分布有均匀磁场，方向如图。磁场的变化率 $\partial B/\partial t > 0$

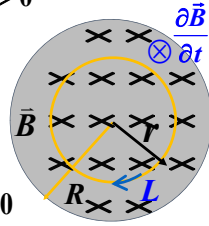
求：1) 圆柱内、外的 $\vec{E}_{\text{感}}$ 分布。

解： $r < R$

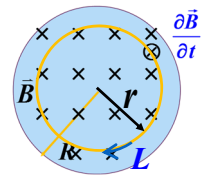
$$\oint_L \vec{E}_{\text{感}} \cdot d\vec{l} = -\int_S \frac{\partial \vec{B}}{\partial t} \cdot d\vec{S}$$

$$\oint_L E_{\text{感}} dl \cos 0 = -\int_S \frac{\partial B}{\partial t} dS \cos 0$$

$$E_{\text{感}} 2\pi r = -\frac{\partial B}{\partial t} \pi r^2 \quad E_{\text{感}} = -\frac{r}{2} \frac{\partial B}{\partial t} \quad \text{方向：逆时针方向}$$



讨论 $E_{\text{感}} = -\frac{r}{2} \frac{\partial B}{\partial t}$



负号表示 $\vec{E}_{\text{感}}$ 与 $\partial B/\partial t$ 反号

(1) $|\vec{B}| \downarrow$ 则 $\partial B/\partial t < 0 \rightarrow E_{\text{感}} > 0$

$\vec{E}_{\text{感}}$ 与 L 积分方向切向同向

(2) $|\vec{B}| \uparrow$ 则 $\partial B/\partial t > 0 \rightarrow E_{\text{感}} < 0$

$\vec{E}_{\text{感}}$ 与 L 积分方向切向相反

$r > R$

$$\oint_L \vec{E}_{\text{感}} \cdot d\vec{l} = -\int_S \frac{\partial \vec{B}}{\partial t} \cdot d\vec{S}$$

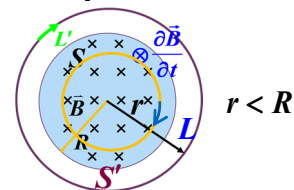
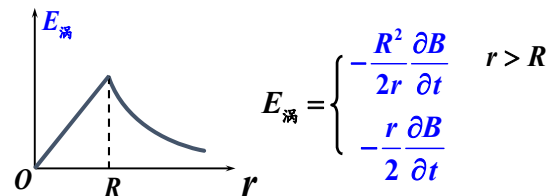
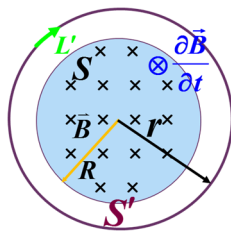
$$\therefore \int_S \frac{\partial \vec{B}}{\partial t} \cdot d\vec{S} = \frac{\partial B}{\partial t} \pi R^2$$

$$\oint_L \vec{E}_{\text{感}} \cdot d\vec{l} = -\frac{\partial B}{\partial t} \pi R^2$$

$$E_{\text{感}} 2\pi r = -\frac{\partial B}{\partial t} \pi R^2$$

$$E_{\text{感}} = -\frac{R^2}{2r} \frac{\partial B}{\partial t}$$

方向：逆时针方向



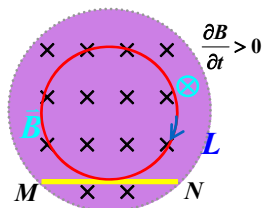
只要有变化磁场，整个空间就存在感生电场。

将长为 L 的金属棒 MN 放在具有匀强磁场分布的一圆柱形区域内，试求金属棒 MN 中的感生电动势，并判断电势高低。

解：由前题的结果可知

$$r < R \quad E_{\text{感}} = -\frac{r}{2} \frac{dB}{dt}$$

$$r > R \quad E_{\text{感}} = -\frac{R^2}{2r} \frac{dB}{dt}$$



求棒 MN 两端的感生电动势

$$\varepsilon_{MN} = \int_0^L \vec{E}_{\text{感}} \cdot d\vec{x} = \int_0^L E_{\text{感}} \cos \theta dx$$

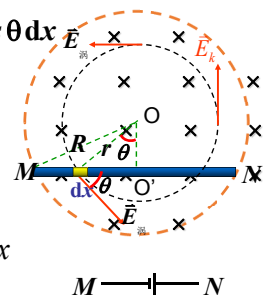
$$\cos \theta = \frac{\sqrt{R^2 - L^2/4}}{r}$$

$$\varepsilon_{MN} = \int_0^L E_{\text{感}} \cos \theta dx$$

$$= \int_0^L \frac{1}{2} r \frac{dB}{dt} \frac{\sqrt{R^2 - L^2/4}}{r} dx$$

$$= \frac{L}{2} \sqrt{R^2 - \left(\frac{L}{2}\right)^2} \frac{dB}{dt}$$

方向： $M \rightarrow N$



三、自感应和互感应

1、自感应

自感系数或自感

$$L = \frac{\psi}{I}$$

自感电动势:

$$\varepsilon_L = -L \frac{dI}{dt}$$

2、互感应

互感系数简称为互感

$$M = \frac{\psi_{21}}{I_1} = \frac{\psi_{12}}{I_2}$$

互感电动势:

$$\varepsilon_{21} = -M \frac{dI_1}{dt}$$

$$\varepsilon_{12} = -M \frac{dI_2}{dt}$$

四、磁场的能量

1、自感磁能

$$W_m = \frac{1}{2} LI^2$$

2、磁场能量密度

$$w_m = \frac{B^2}{2\mu_0}$$

3、磁场能量

$$W_m = \int_V w_m dV = \int_V \frac{B^2}{2\mu_0} dV$$

类比

电容器储能

$$\frac{1}{2} CU^2$$

电场能量密度

$$w_e = \frac{1}{2} \varepsilon_0 E^2$$

$$W_e = \int_V \frac{1}{2} \varepsilon_0 E^2 dV$$

电感器储能

$$\frac{1}{2} LI^2$$

磁场能量密度

$$w_m = \frac{1}{2} \frac{B^2}{\mu_0}$$

$$W_m = \int_V \frac{1}{2} \frac{B^2}{\mu_0} dV$$

自己继续总结:

在各种场源带电体情况下 $E \sim r$ 图 $u \sim r$ 图
的特点、导体问题、电容问题、磁力问题、
电磁感应等等